



Министерство науки и высшего образования Российской Федерации  
Федеральное государственное бюджетное образовательное учреждение  
высшего образования  
«Московский государственный технический университет  
имени Н.Э. Баумана  
(национальный исследовательский университет)»  
(МГТУ им. Н.Э. Баумана)

---

ФАКУЛЬТЕТ «Информатика и системы управления»

КАФЕДРА «Программное обеспечение ЭВМ и информационные технологии»

### Лабораторная работа № 4

**Тема:** Программно- алгоритмическая реализация моделей на основе дифференциальных уравнений в частных производных с краевыми условиями II и III рода.

Студент Оберган Т.М.

Группа ИУ7-65Б

Оценка (баллы) \_\_\_\_\_

Преподаватель Градов В.М.

Москва.  
2020 г.

## Оглавление

Исходные данные .....	3
Физическое содержание задачи .....	4
Листинг .....	6
Результаты работы .....	10
Вопросы при защите лабораторной работы .....	14

**Цель работы:** получение навыков разработки алгоритмов решения смешанной краевой задачи при реализации моделей, построенных на квазилинейном уравнении параболического типа.

## Исходные данные

1. Задана математическая модель.

Уравнение для функции  $T(x, t)$

$$c(T) \frac{\partial T}{\partial t} = \frac{\partial}{\partial x} \left( k(T) \frac{\partial T}{\partial x} \right) - \frac{2}{R} \alpha(x) T + \frac{2T_0}{R} \alpha(x) \quad (1)$$

Краевые условия

$$\begin{cases} t = 0, & T(x, 0) = T_0, \\ x = 0, & -k(T(0)) \frac{\partial T}{\partial x} = F_0, \\ x = l, & -k(T(l)) \frac{\partial T}{\partial x} = \alpha_N (T(l) - T_0) \end{cases} \quad (2)$$

В обозначениях уравнения (14.1) лекции №14

$$p(x) = \frac{2}{R} \alpha(x) \quad f(u) \equiv f(x) = \frac{2T_0}{R} \alpha(x) \quad (3)$$

2. Разностная схема с разностным краевым условием при  $x = 0$

$$\begin{aligned} & \left( \frac{h}{8} \widehat{c}_{\frac{1}{2}} + \frac{h}{4} \widehat{c}_0 + \widehat{X}_{\frac{1}{2}} \frac{\tau}{h} + \frac{\tau h}{8} p_{\frac{1}{2}} + \frac{\tau h}{4} p_0 \right) \widehat{y}_0 + \left( \frac{h}{8} \widehat{c}_{\frac{1}{2}} - \widehat{X}_{\frac{1}{2}} \frac{\tau}{h} + \frac{\tau h}{8} p_{\frac{1}{2}} \right) \widehat{y}_1 \\ & = \frac{h}{8} \widehat{c}_{\frac{1}{2}} (y_0 + y_1) + \frac{h}{4} \widehat{c}_0 y_0 + \widehat{F} \tau + \frac{\tau h}{4} (\widehat{f}_{\frac{1}{2}} + \widehat{c}_0) \end{aligned} \quad (4)$$

При получении разностного аналога краевого условия при  $x = l$  необходимо учесть, что поток

$$\begin{aligned} F_N &= \alpha_N (\widehat{y}_N - T_0) \\ F_{N-\frac{1}{2}} &= \widehat{X}_{N-\frac{1}{2}} \frac{\widehat{y}_{N-1} - \widehat{y}_N}{h} \end{aligned} \quad (5)$$

### 3. Значения параметров для отладки (все размерности согласованы)

$$k(T) = a_1(b_1 + c_1 T^{m_1}), \quad \text{Вт/см}^2 \text{ К},$$

$$c(T) = a_2 + b_2 T^{m_2} - \frac{c_2}{T^2}, \quad \text{Дж/см}^3 \text{ К}.$$

$$a_1 = 0.0134, \quad b_1 = 1, \quad c_1 = 4.35 \cdot 10^{-4}, \quad m_1 = 1,$$

$$a_2 = 2.049, \quad b_2 = 0.563 \cdot 10^{-3}, \quad c_2 = 0.528 \cdot 10^5, \quad m_2 = 1.$$

$$\alpha(x) = \frac{c}{x - d},$$

$$\alpha_0 = 0.05 \text{ Вт/см}^2 \text{ К},$$

$$\alpha_N = 0.01 \text{ Вт/см}^2 \text{ К},$$

$$l = 10 \text{ см},$$

$$T_0 = 300 \text{ К},$$

$$R = 0.5 \text{ см},$$

$$F(t) = 50 \text{ Вт/см}^2 \text{ (для отладки принять постоянным)}.$$

### Физическое содержание задачи

Постановки задач в данной лабораторной работе и работе №3 во многом совпадают. Отличия заключаются в следующем:

1. Сформулированная в данной работе математическая модель описывает нестационарное температурное поле  $T(x, t)$ , зависящее от координаты  $x$  и меняющееся во времени.
2. Свойства материала стержня привязаны к температуре, т.е. теплоемкость и коэффициент теплопроводности  $c(T), k(T)$  зависят от  $T$ , тогда как в работе №3  $k(x)$  зависит от координаты, а  $c = 0$ .
3. При  $x = 0$  цилиндр нагружается тепловым потоком  $F(t)$ , в общем случае зависящим от времени, а в работе №3 поток был постоянный.

Если в настоящей работе задать поток постоянным, т.е.  $F(t) = \text{const}$ , то будет происходить формирование температурного поля от начальной температуры  $T_0$  до некоторого установившегося (стационарного) распределения

$T(x, t)$ . Это поле в дальнейшем с течением времени меняться не будет и должно совпасть с температурным распределением  $T(x)$ , получаемым в лаб. работе №3, если все параметры задач совпадают, в частности, вместо  $k(T)$  надо использовать  $k(x)$  из лаб. работы №3. Это полезный факт для тестирования программы.

Если после разогрева стержня положить поток  $F(t) = 0$ , то будет происходить остывание, пока температура не выровняется по всей длине и не станет равной  $T_0$ .

При произвольной зависимости потока  $F(t)$  от времени температурное поле будет как-то сложным образом отслеживать поток.

*Замечание.* Варьируя параметры задачи, следует обращать внимание на то, что решения, в которых температура превышает примерно 2000К, физического смысла не имеют и практического интереса не представляют.

## Листинг

```
# Лабораторная по моделированию №4
# Реализация модели на основе ДУ в частных производных
# с краевыми условиями II и III рода.

import matplotlib.pyplot as plt
import numpy as np
from math import fabs
from mpl_toolkits.mplot3d import Axes3D

# Исходные данные модели
def k(T):
    return a1 * (b1 + c1 * T**m1)

def c(T):
    return a2 + b2 * T**m2 - (c2 / T**2)

def alpha(x):
    d = (alphaN*1) / (alphaN-alpha0)
    c = - alpha0 * d
    return c / (x-d)

def p(x) :
    return (2/R) * alpha(x)

def f(x):
    return (2*T0/R) * alpha(x)

def A(T):
    return t/h * approx_minus_half(k, T, t)

def D(T):
    return t/h * approx_plus_half(k, T, t)

def B(x, T):
    return A(T) + D(T) + h*c(T) + h*t*p(x)

def F(x, T):
    return h*t*f(x) + T*h*c(T)

# Простая аппроксимация
def approx_plus_half(func, n, step):
    return (func(n) + func(n + step)) / 2

def approx_minus_half(func, n, step):
    return (func(n) + func(n - step)) / 2

# Краевые условия
# При x = 0
def left_boundary_condition(T_prev):
    T_prev_0 = T_prev[0]
    c_plus = approx_plus_half(c, T_prev_0, t)
    k_plus = approx_plus_half(k, T_prev_0, t)
    c0 = c(T_prev_0)

    K0 = h/8 * c_plus + h/4 * c0 + t/h * k_plus + \
        t * h/8 * p(h/2) + t * h/4 * p(0)
```

```

M0 = h/8 * c_plus - t/h * k_plus + t * h/8 * p(h/2)

P0 = h/8 * c_plus * (T_prev_0 + T_prev[1]) + \
    h/4 * c0 * T_prev_0 + F0 * t + t * h/8 * (3 * f(0) + f(h))

return K0, M0, P0

# При x = N
def right_boundary_condition(T_prev):
    T_prev_N = T_prev[-1]
    c_minus = approx_minus_half(c, T_prev_N, t)
    k_minus = approx_minus_half(k, T_prev_N, t)
    cN = c(T_prev_N)

    KN = h/8 * c_minus + h/4 * cN + t/h * k_minus + t * alphaN + \
        t * h/8 * p(1 - h/2) + t * h/4 * p(1)

    MN = h/8 * c_minus - t/h * k_minus + t * h/8 * p(1 - h/2)

    PN = h/8 * c_minus * (T_prev_N + T_prev[-2]) + \
        h/4 * cN * T_prev_N + t * alphaN * T0 + t * h/4 * (f(1) + f(1 - h/2))

    return KN, MN, PN

def get_T_new(T_prev):
    K0, M0, P0 = left_boundary_condition(T_prev)
    KN, MN, PN = right_boundary_condition(T_prev)

    eps = [0, -M0 / K0]
    eta = [0, P0 / K0]

    x = h
    n = 1
    while (x + h < 1):
        T_prev_n = T_prev[n]
        denominator = (B(x, T_prev_n) - A(T_prev_n) * eps[n])

        next_eps = D(T_prev_n) / denominator
        next_eta = (F(x, T_prev_n) + A(T_prev_n) * eta[n]) / denominator

        eps.append(next_eps)
        eta.append(next_eta)

        n += 1
        x += h

    T_new = [0] * (n + 1)
    T_new[n] = (PN - MN*eta[n]) / (KN + MN*eps[n])

    for i in range(n - 1, -1, -1):
        T_new[i] = eps[i+1] * T_new[i+1] + eta[i+1]

    return T_new

```

```

# Метод простых итераций
def simple_iter():
    step1 = int(1 / h)
    T = [T0] * (step1 + 1)
    T_new = [0] * (step1 + 1)
    ti = 0
    res = []
    res.append(T)
    lent = len(T)

    while True:
        T_prev = T
        while True:
            T_new = get_T_new(T_prev)

            cur_max = fabs((T[0] - T_new[0]) / T_new[0])
            for i in range(lent):
                d = fabs(T[i] - T_new[i]) / T_new[i]
                if d > cur_max:
                    cur_max = d

            if cur_max < 1:
                break
            T_prev = T_new

        res.append(T_new)
        ti += t

        flag_eps_ok = True
        for i in range(lent):
            if fabs((T[i] - T_new[i]) / T_new[i]) > 1e-2:
                flag_eps_ok = False
        if flag_eps_ok:
            break
        T = T_new

    return res, ti

if __name__ == "__main__":
    # Исходные данные
    a1 = 0.0134
    b1 = 1
    c1 = 4.35e-4
    m1 = 1
    a2 = 2.049
    b2 = 0.563e-3
    c2 = 0.528e5
    m2 = 1

    alpha0 = 0.05
    alphaN = 0.01
    l = 10
    T0 = 300
    R = 0.5
    F0 = 50

    h = 1e-3
    t = 1

    # Расчеты
    res, ti = simple_iter()

```



```

# Построение графиков
lenres = len(res)
last = int(len(res[0]) / 7) # оставим только седьмую часть графика
res_cutted = [i[0:last:] for i in res] # обрезаем неинтересную часть графика

# Трёхмерный график
x, y = np.mgrid[0:lenres:1, 0:last:1]
z = np.array([np.array(i) for i in res_cutted])

fig_3d = plt.figure()
xyz = fig_3d.add_subplot(111, projection='3d')
xyz.plot_surface(x, y, z, cmap='inferno')
fig_3d.show()

# Проекции
fig, (first_graph, second_graph) = plt.subplots(
    nrows=1, ncols=2,
    figsize=(8, 4))

# Первая см - К
x = list(np.arange(0, 1, h))
x_cutted = x[:last:]
step = 3
for i in res_cutted[::step]:
    first_graph.plot(x_cutted, i)
first_graph.plot(x_cutted, res_cutted[-1])
first_graph.set_xlabel("x, см")
first_graph.set_ylabel("T, К")
first_graph.grid()

# Вторая sec - К
te = list(range(0, ti, t))
for i in np.arange(0, 1/3, 0.2):
    line = [j[int(i/h)] for j in res]
    second_graph.plot(te, line[:-1])
second_graph.set_xlabel("t, sec")
second_graph.set_ylabel("T, К")
second_graph.grid()
fig.show()

```

## Результаты работы

1. Представить разностный аналог краевого условия при  $x=1$  и его краткий вывод интегро-интерполяционным методом.

Разностный аналог краевого условия при  $x = 1$  получается путем интегрирования (1) на отрезке  $[X_{N-\frac{1}{2}}, X_N]$ , с учетом (5).

Введем следующее обозначение:

$$F = -k(u) \frac{\partial T}{\partial x} \quad (6)$$

Проинтегрируем (1):

$$\begin{aligned} \int_{X_{N-\frac{1}{2}}}^{X_N} dx \int_{t_m}^{t_{m+1}} c(t) \frac{\partial T}{\partial t} dt \\ = - \int_{t_m}^{t_{m+1}} dt \int_{X_{N-\frac{1}{2}}}^{X_N} \frac{\partial F}{\partial x} dx - \int_{X_{N-\frac{1}{2}}}^{X_N} dx \int_{t_m}^{t_{m+1}} p(x) T dt \\ + \int_{X_{N-\frac{1}{2}}}^{X_N} dx \int_{t_m}^{t_{m+1}} f(x) dt \end{aligned} \quad (7)$$

Интегрируя аналогично разностному аналогу краевого условия при  $x = 0$  (из лекции 14) получим, учтя (5):

$$\begin{aligned} \frac{h}{4} \left( \widehat{c_N} (\widehat{y_N} - y_N) - \widehat{c_{N-\frac{1}{2}}} \left( \frac{\widehat{y_N} + \widehat{y_{N-1}}}{2} - \frac{y_N + y_{N+1}}{2} \right) \right) \\ = -\tau \left( \alpha_N (\widehat{y_N} - T_0) - \widehat{X_N} \frac{\widehat{y_N} + \widehat{y_{N-1}}}{h} \right) \\ - \tau \frac{h}{4} \left( p_N \widehat{y_N} - p_{N-\frac{1}{2}} \frac{\widehat{y_N} + \widehat{y_{N-1}}}{2} + \left( \widehat{f_N} - \widehat{f_{N-\frac{1}{2}}} \right) \right) \end{aligned} \quad (8)$$

Приведем уравнение к виду  $K_N \widehat{y_N} + M_N \widehat{y_{N-1}} = P_N$

$$\begin{aligned}
& \left( \frac{h}{4} \widehat{c_N} + \frac{h}{8} \widehat{c_{N-\frac{1}{2}}} + \tau \alpha_N + \frac{\tau}{h} \widehat{X_{N-\frac{1}{2}}} + \frac{h}{4} \tau p_N + \frac{h}{8} \tau p_{N-\frac{1}{2}} \right) \widehat{y_N} \\
& + \left( \frac{h}{8} \widehat{c_{N-\frac{1}{2}}} - \frac{\tau}{h} \widehat{X_{N-\frac{1}{2}}} + \frac{h}{8} \tau p_{N-\frac{1}{2}} \right) \widehat{y_{N-1}} \\
& = \alpha_N \tau T_0 + \frac{h}{4} \widehat{c_N} y_N + \frac{h}{8} \widehat{c_{N-\frac{1}{2}}} (y_N + y_{N-1}) + \frac{h}{4} \tau (\widehat{f_N} \\
& + \widehat{f_{N-\frac{1}{2}}})
\end{aligned} \tag{9}$$

Будет принята простая аппроксимация (для функций  $c, X, p$ ):

$$p_{N-\frac{1}{2}} = \frac{p_{N-1} + p_N}{2} \tag{10}$$

Из (4) можно получить  $K_0, M_0, P_0, K_N, M_N, P_N$ :

$$\begin{cases} \widehat{K_0} \widehat{y_0} + \widehat{M_0} \widehat{y_1} = \widehat{P_0} \\ \widehat{A_n} \widehat{y_{n-1}} - \widehat{B_n} \widehat{y_n} + \widehat{D_n} \widehat{y_{n+1}} = -\widehat{F_n} \\ \widehat{K_N} \widehat{y_N} + \widehat{M_{N-1}} \widehat{y_{N-1}} = \widehat{P_N} \end{cases} \tag{11}$$

Систему (11) можно решить методом итераций.

Пусть  $s$  – номер итерации.

$$A_n^{s-1} y_{n+1}^s - B_n^{s-1} y_n^s + D_n^{s-1} y_{n-1}^s = -F_n^{s-1} \tag{12}$$

2. График зависимости температуры  $T(x, t_m)$  от координаты  $x$  при нескольких фиксированных значениях времени  $t_m$  при заданных выше параметрах.

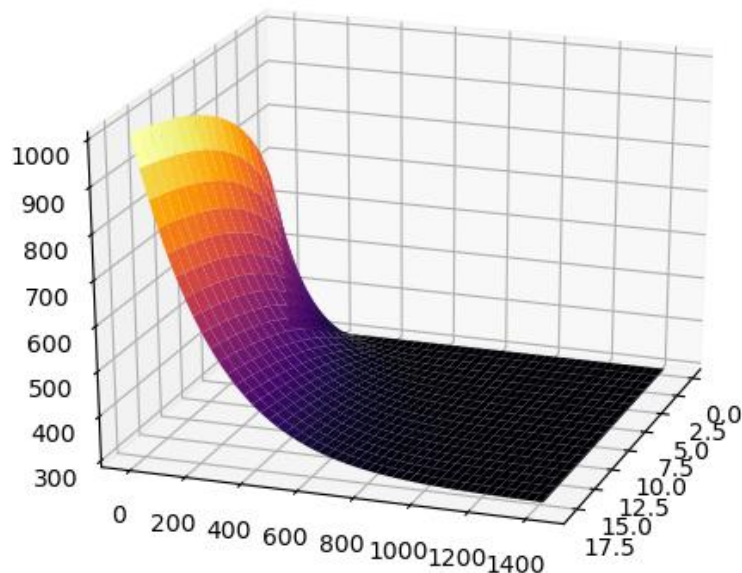


Рис. 1 – трехмерный график изменения температуры по времени и длине

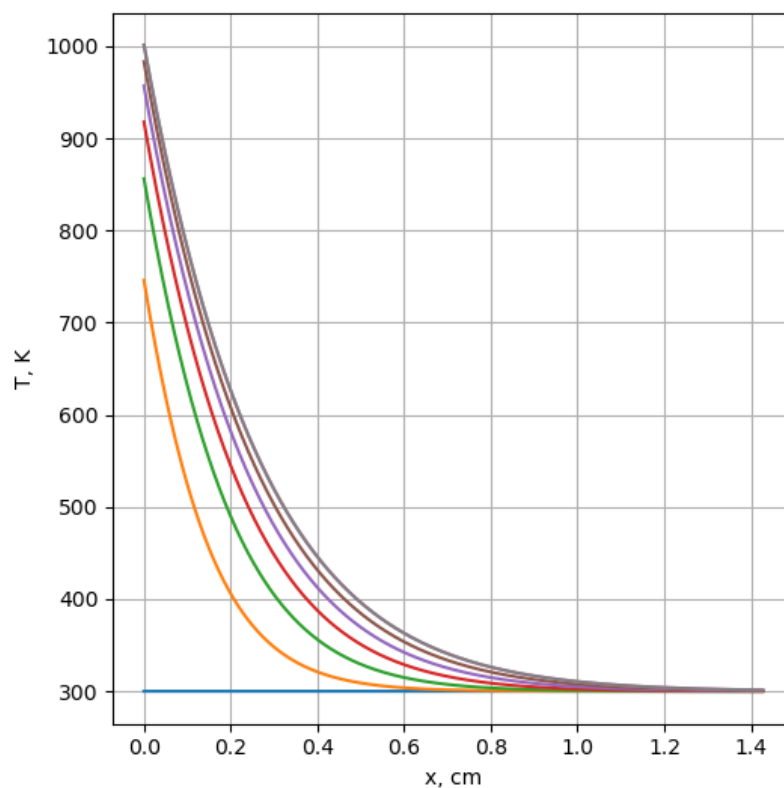


Рис. 2 – проекции трехмерного графика; зависимость температуры и длины в разные моменты времени. Синий график – в начальный момент времени

3. График зависимости  $T(x_n, t)$  при нескольких фиксированных значениях координаты  $x_n$ . Обязательно представить случай  $n=0$ , т.е.  $x = x_0 = 0$ .

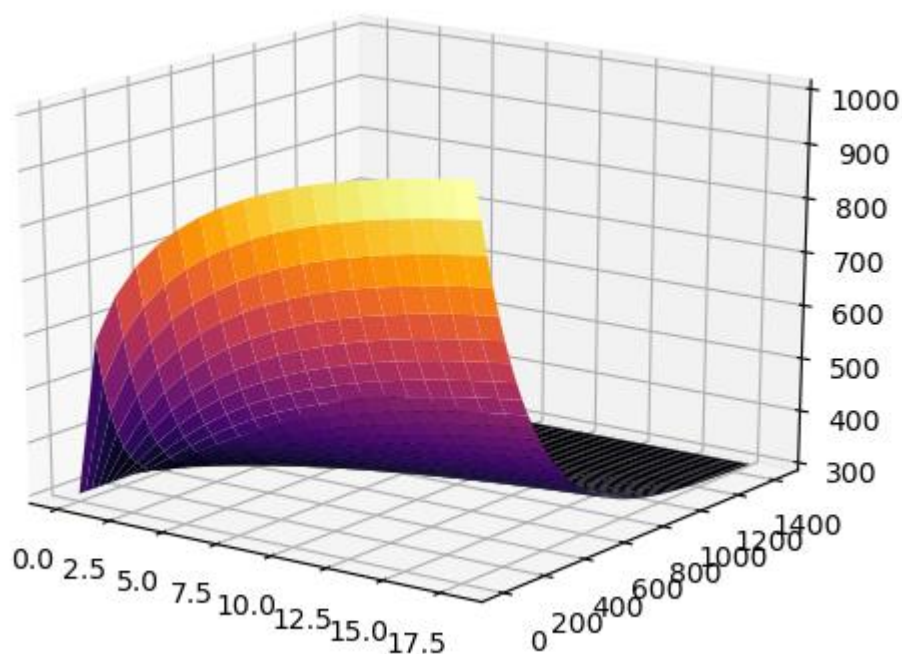


Рис. 3 – трехмерный график изменения температуры по времени и длине

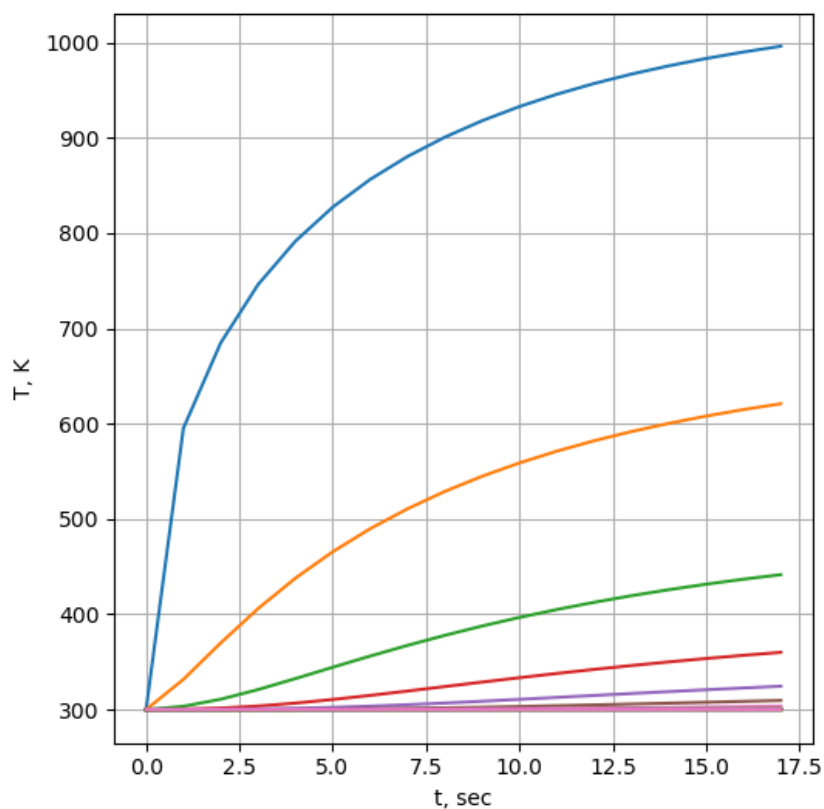


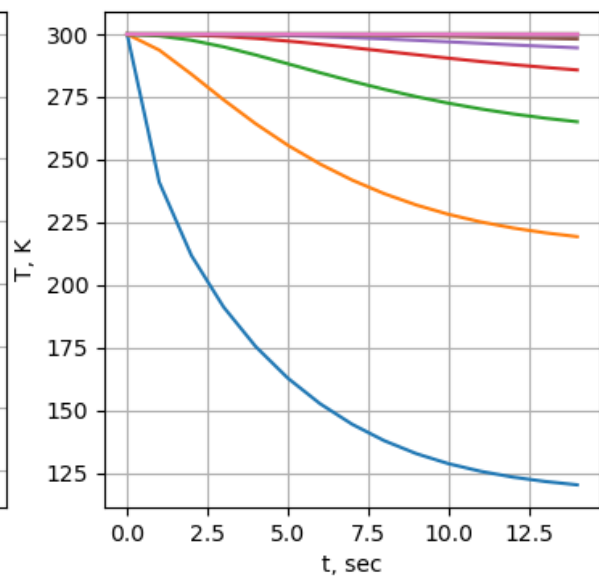
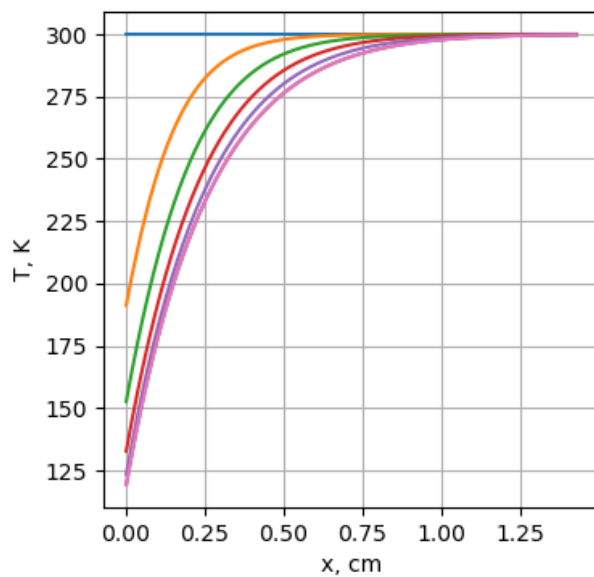
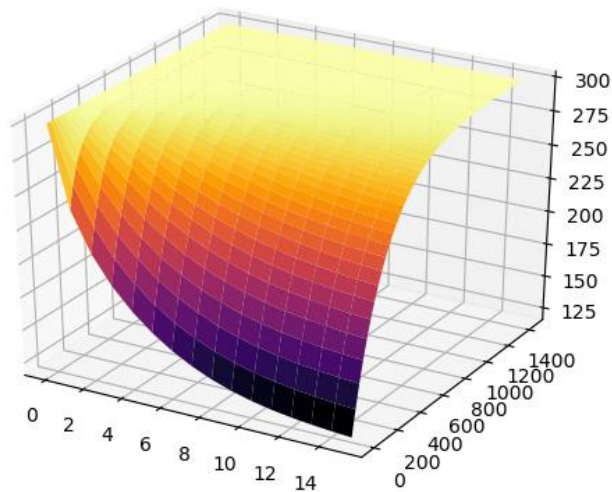
Рис. 4 – проекции трехмерного графика; зависимость температуры по времени в разных частях стержня. Синий график – при  $x = 0$

## Вопросы при защите лабораторной работы

1. Приведите результаты тестирования программы. Учесть опыт выполнения лабораторной работы №3.

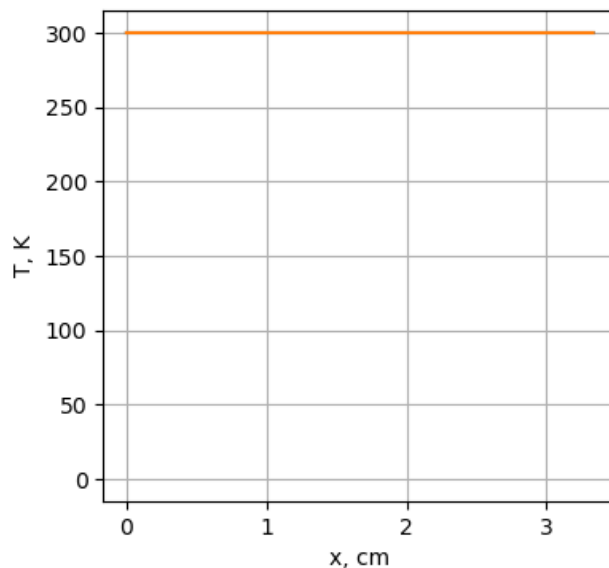
Если принять  $F_0 = -10$

При отрицательном тепловом потоке слева идет сьем тепла.

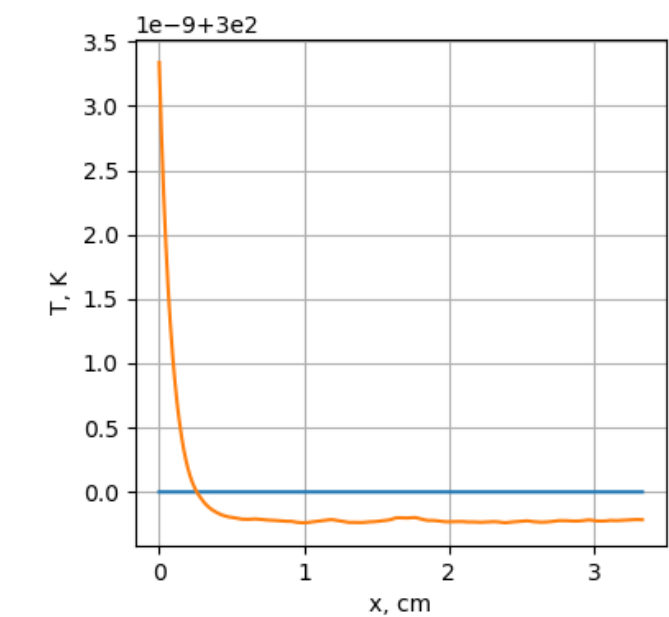


Если принять  $F_0 = 0$ .

Тепловое нагружение отсутствует, причин для нагрева нет, температура стержня должна быть равна температуре окружающей среды  $T_0$ .



На следующем графике видна погрешность:



\*Синий график – в начальный момент времени

2. Выполните линеаризацию уравнения (14.8) по Ньютону, полагая для простоты, что все коэффициенты зависят только от одной переменной  $\widehat{y}_n$ . Приведите линеаризованный вариант уравнения и опишите алгоритм его решения. Воспользуйтесь процедурой вывода, описанной в лекции №8.

Канонический вид системы квазилинейных разностных уравнений (14.8):

$$\begin{cases} \widehat{K}_0 \widehat{y}_0 + \widehat{M}_0 \widehat{y}_1 = \widehat{P}_0 \\ \widehat{A}_n \widehat{y}_{n-1} - \widehat{B}_n \widehat{y}_n + \widehat{D}_n \widehat{y}_{n+1} = -\widehat{F}_n, \quad 1 \leq n \leq N-1 \\ \widehat{K}_N \widehat{y}_N + \widehat{M}_{N-1} \widehat{y}_{N-1} = \widehat{P}_N \end{cases} \quad (13)$$

В условии дано:

$$\widehat{A}_n = \widehat{A}_n(\widehat{y}_n); \quad \widehat{B}_n = \widehat{B}_n(\widehat{y}_n); \quad \widehat{C}_n = \widehat{C}_n(\widehat{y}_n); \quad \widehat{D}_n = \widehat{D}_n(\widehat{y}_n) \quad (14)$$

Выполняя линеаризацию (13) по Ньютону, зная (14), получим:

$$\begin{aligned} & (\widehat{A}_n \widehat{y}_{n-1} - \widehat{B}_n \widehat{y}_n + \widehat{D}_n \widehat{y}_{n+1} + \widehat{F}_n) \Big|_{s-1} + \\ & + \frac{1}{\partial \widehat{y}_{n-1}} (\partial \widehat{A}_n \widehat{y}_{n-1} - \partial \widehat{B}_n \widehat{y}_n + \partial \widehat{D}_n \widehat{y}_{n+1} + \partial \widehat{F}_n) \Big|_{s-1} * \Delta \widehat{y}_{n-1}^s + \\ & + \frac{1}{\partial \widehat{y}_n} (\partial \widehat{A}_n \widehat{y}_{n-1} - \partial \widehat{B}_n \widehat{y}_n + \partial \widehat{D}_n \widehat{y}_{n+1} + \partial \widehat{F}_n) \Big|_{s-1} * \Delta \widehat{y}_n^s + \\ & + \frac{1}{\partial \widehat{y}_{n+1}} (\partial \widehat{A}_n \widehat{y}_{n-1} - \partial \widehat{B}_n \widehat{y}_n + \partial \widehat{D}_n \widehat{y}_{n+1} + \partial \widehat{F}_n) \Big|_{s-1} * \Delta \widehat{y}_{n+1}^s = 0 \end{aligned} \quad (15)$$

Преобразуем к:

$$\begin{aligned} & (\widehat{A}_n \widehat{y}_{n-1} - \widehat{B}_n \widehat{y}_n + \widehat{D}_n \widehat{y}_{n+1} + \widehat{F}_n) \Big|_{s-1} + \\ & + (\widehat{A}_n) \Big|_{s-1} \Delta \widehat{y}_{n-1}^s + \\ & + \left( \frac{\partial \widehat{A}_n}{\partial \widehat{y}_n} \widehat{y}_{n-1} - \frac{\partial \widehat{B}_n}{\partial \widehat{y}_n} \widehat{y}_n - \widehat{B}_n + \frac{\partial \widehat{D}_n}{\partial \widehat{y}_n} \widehat{y}_{n+1} + \frac{\partial \widehat{F}_n}{\partial \widehat{y}_n} \right) \Big|_{s-1} * \Delta \widehat{y}_n^s + \\ & + (\widehat{D}_n) \Big|_{s-1} \Delta \widehat{y}_{n+1}^s = 0 \end{aligned} \quad (16)$$



Уравнение (16) решается методом прогонки. В результате находятся все  $\Delta \widehat{y}_n^{(s)}$ , после чего определяются значения искомой функции в узлах на s-итерации:

$$\widehat{y}_n^{(s)} = \widehat{y}_n^{(s-1)} + \Delta \widehat{y}_n^{(s)} \quad (17)$$

Итерационный процесс завершится при достижении условия:

$$\max \left| \frac{\Delta \widehat{y}_n^{(s)}}{\widehat{y}_n^{(s)}} \right| \leq \varepsilon, \quad n = 0, 1 \dots N \quad (18)$$